

## بررسی ساختاری بلوری و گذار فاز در سیستم شیشه سرامیک میسریتی $\text{SiO}_2\text{-K}_2\text{O-CaF}_2\text{-CaO}$

محمد تقی همدانی<sup>۱\*</sup>، واهاک مارقوسیان<sup>۲</sup>، حسین سرپولکی<sup>۳</sup>

۱- دانشکده مهندسی مکانیک، دانشگاه تبریز

۲- دانشکده مهندسی مواد و متالورژی، دانشگاه علم و صنعت ایران

(دریافت مقاله: ۸۸/۱۲/۸، نسخه نهایی: ۸۹/۴/۱۰)

چکیده: کانی سیلیکات کلسیم پتاسیم میسریت پس از یک دوره‌ی طولانی تحلیل نادرست از فرمول شیمیایی و ساختار بلوری از سال ۱۸۹۱، بالاخره در سال ۱۹۷۵ توسط اسکات<sup>۱</sup> بهصورت یک ساختار سیلیکات زنجیره‌ای در سیستم تری کلینیک با فرمول  $[Ca_{\frac{1}{2}}M_{\frac{1}{2}}^{3+}](Si_{\frac{1}{2}}O_{\frac{1}{2}})_{\frac{1}{2}}(F, OH)_{\frac{1}{2}}$  مورد شناسایی قرار گرفت. اسکات، ضمن تعیین پارامترهای یاخته‌ی اولیه، مکان کلیه اتم‌ها در آن را نیز تعیین کرد و نشان داد که در این ساختار برخی از ناخالصی‌ها نظیر  $Y^{3+}$  و  $Ce^{3+}$  و ... در مکان  $Ca^{3+}$  بهصورت محلول جامد حضور دارند. ساخت این ترکیب در سال ۱۹۹۹ توسط پینکنی<sup>۲</sup> و بل<sup>۳</sup> به روش شیشه‌ی سرامیکی تهییه شد و استحکام خمشی  $235 \text{ MPa}\cdot\text{m}^{1/2}$  و مقاومت شکست  $35 \text{ MPa}$  را برای این ترکیب گزارش کردند. در این کار پژوهشی، ساخت سه ترکیب با پایه‌ی میسریتی به روش شیشه سرامیکی مورد بررسی قرار گرفت. نتایج این کار با استفاده از دستگاه‌های DTA و XRD نشان داد که ساخت این ترکیب تنها با استفاده از افزودنی‌هایی نظیر  $Ce^{3+}$  امکان‌پذیر است. استفاده از افزودنی‌های دیگر نشان داد که ساخت این ترکیب به عنوان فاز غالب منجر خواهد شد. ریزساختار این ترکیب به صورت میله‌های در هم تنیده به قطر ۱ میکرون و طول بیش از ۲۰ میکرون است. این ریزساختار خواص نمونه را از نظر استحکام مکانیکی بهبود خواهد بخشید.

**واژه‌های کلیدی:** میسریت، شیشه سرامیکی، سیلیکات زنجیره‌ای، زنوتلیت.

فرمول‌های نادرستی از این ماده‌یمعدنی مطرح شد تا آنکه در سال ۱۹۵۰ با بررسی‌های انجام گرفته توسط شلر<sup>[۲]</sup> این ماده

به عنوان یک سیلیکات کلسیم، پتاسیم رده‌بندی شد.

مولوا و رایزون در سال ۱۹۶۰ با مقایسه‌ی یک نوع میسریت روسی با میسریت آرکانزاس بر مبنای مدل پکتولیت  $KCa_x[Si_xO_8OH]$ ، فرمول Pectolite را برای میسریت پیشنهاد کردند<sup>[۳]</sup>.

مقدمه

تاریخچه‌ی شناسایی کانی میسریت

میسریت به عنوان یک سیلیکات زنجیره‌ای مدت طولانی به عنوان یک ماده‌یمعدنی مشکل‌ساز در میان پژوهشگران مطرح بوده است. زیرا از ابتدا به درستی شناسایی نشده بود و به اشتباہ در سال ۱۸۹۱ توسط ویلیامیز به عنوان ناتروزنوتلیت (Natraxonotlite) نامگذاری شد<sup>[۱]</sup>. پس از آن تحلیل‌ها و

\*نویسنده مسئول، تلفن ۰۹۱۲۷۰۱۷۸۰۶، نمابر: ۴۱۳۳۵۶۰۲۶، پست الکترونیکی: M\_hamedani\_288@yahoo.com

$$a = 10/100 A^\circ, b = 16/14 A^\circ, C = 7/37 A^\circ, \alpha = 96/92 A^\circ, \beta = 111/15 A^\circ, \gamma = 76/33 A^\circ$$

آنالیز شیمیایی آن بر حسب درصد وزنی به صورت زیر است [۱۱].

$$\begin{aligned} SiO_4 &= 50/61 & TiO_4 &= 0/0.5 & Al_4 O_4 \\ &= 0/0.5 & FeO &= 0/32 & MgO &= 0/0.8 \\ CaO &= 32/66 & MnO &= 0/24 & Na_4 O \\ &= 0/0.6 & K_4 O &= 6/59 & Y_4 O_4 &= 2/1 \\ La_4 O_4 &= 0/0.9 & Ce_4 O_4 &= 1/0.6 & Pr_4 O_4 \\ &= 0/0.66 & Nd_4 O_4 &= 1/36 & F &= 1/1 \\ L.OI &= 6/8 & H_4 O &= 5/7 \end{aligned}$$

ساختار میسریت شامل دو نوع رادیکال سیلیکاتی است. نوع اول شامل چهار زنجیره سه عضوی پیروکسنائید چهاروجهی  $SiO_4$  است. این چهار زنجیره از سه رأس به گونه‌ای به یکدیگر وصل می‌شوند که یک لوله بسته  $[Si_{12}O_{36}]^{12-}$  در راستای محور Z ایجاد می‌کند. این لوله دارای تقارن مرکزی است و یک تقارن mmm کامل را نشان می‌دهد. لوله‌های  $C$  مجاور به صورت عمودی دقیقاً به اندازه‌ی  $\frac{1}{2}$  از یکدیگر فاصله دارند. دیواره‌ی این لوله‌ها از چهاروجهی‌های  $Ca$ ,  $Fe$ ,  $Mn$ ,  $Y$ ,  $Ce$  شامل هشت وجهی و چند وجهی‌های هفت گوش است.

نوع دوم رادیکال‌های سیلیکاتی حاوی ارتوگروههای دوتایی  $[Si_4O_7]^{4-}$  است. این رادیکال‌های سیلیکاتی به چند وجهی‌های دیواره‌ی لوله وصل می‌شوند. در یک یاخته‌ی یکه‌ی مشخص، محور X داخل یک لایه قرار می‌گیرد. نقش انواع رادیکال‌های سیلیکاتی اتصال لوله‌های مجاور به یکدیگر است. این رادیکال‌ها در جهت Y به لایه‌های مجاور وصل می‌شوند. شکل ۱ موقعیت اتم‌ها در یاخته‌ی اولیه ساختار بلوئی میسریت را نشان می‌دهد.

دیواره‌ی چند وجهی‌های میسریتی دارای دو لایه چند وجهی است. هر یک از لایه‌ها دارای ۳ ستون چند وجهی نظری هشت وجهی و چند وجهی‌های هفت گوش است که در شکل ۲ و ۳ آورده شده‌اند. موقعیت مکان‌های اشغال شده به وسیله‌ی اتم‌ها در ساختار میسریت در جدول ۱ آورده شده است.

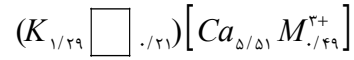
بررسی مکان‌های اشغال شده در ساختار بلوئی میسریت، جدول ۲ نشان می‌دهد که تنها یک مکان  $Ca_1$  کاملاً به وسیله

بررسی‌های انجام گرفته توسط کاپریانوا در سال ۱۹۶۱ [۴] و کوزیووا در سال ۱۹۶۲ [۵] و اولیانوا در سال ۱۹۶۴ [۶] و کراوشنکو در سال ۱۹۶۷ [۷] روی انواع میسریت‌های روسی نشان دادند که فرمول شلر با تحلیل‌های دقیق ماده‌ی روسی همخوانی ندارد. لذا فرمول‌های جدیدی بر مبنای مدل زنوتلیت و براساس رادیکال‌های  $Si_4O_{17}$  و  $(O_{15}F)Si_4O_{17}$  برای میسریت پیشنهاد شدند.

بری و همکارانش در سال ۱۹۷۱ برای میسریت کیپاوا مدل ولاستونیت را انتخاب کردند، آن‌ها برای اولین بار یاخته‌ی یکه‌ی ای برای این ماده‌ی معدنی تعیین کردند که ساختاری مشابه با ولاستونیت با بی‌نظمی شدید در محل کلسیم را نشان می‌داد [۸].

بالاخره در سال ۱۹۷۵ اسکات توانست ساختار بلوئین میسریت را با استفاده از ۲۷۵۵ بازتاب پرتو ایکس تعیین کند. وی علاوه بر تعیین نوع زنجیره‌های سیلیکاتی در ساختار میسریت، محل کلیه اتم‌ها را در یاخته‌ی اولیه تعیین کرد و توانست به آشفتگی‌های به وجود آمده در تعیین ساختار و فرمول میسریت پایان دهد [۹].

در سال ۲۰۰۵ میلادی روز دستون اسکیا ساختار کریستالی میسریت منطقه‌ی پامیر تاجیکستان را مورد بررسی قرار داد. وی ضمن تأیید کارهای اسکات توانست برخی از ویژگی‌های خاص در ساختار این نوع میسریت را آشکار سازد. بنا بر این بررسیها مکان خالی در ساختار بلوئی این نوع میسریت در مکان پتانسیم است. او فرمول شیمیایی این نوع میسریت را به صورت



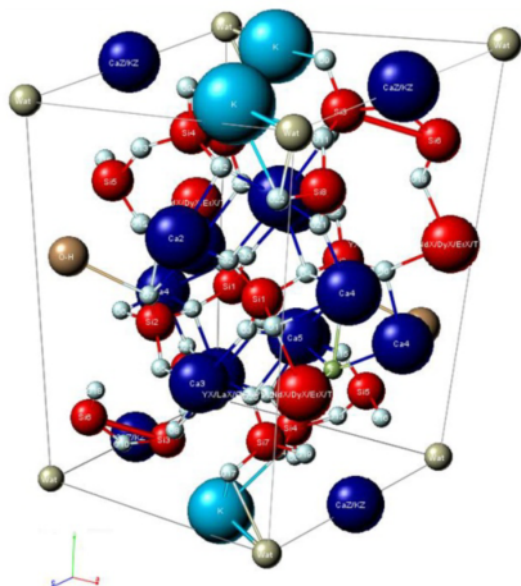
مکان خالی در موقعیت K میسریت را به صورت  $M^{3+} = y, REE, \square$  گزارش کرد [۱۰].

### ساختار بلوئی میسریت Miserite

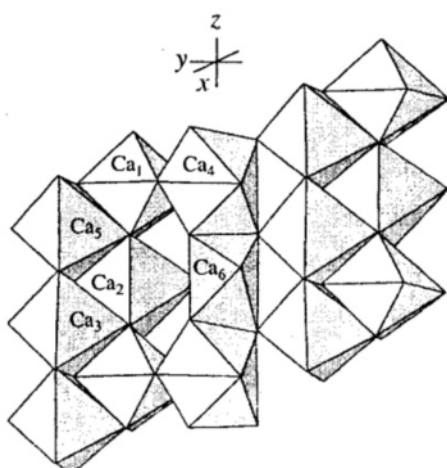
میسریت یک کانی سیلیکات کلسیم پتانسیم کمیاب، همراه با دو نوع رادیکال سیلیکاتی است. ساختار بلوئی آن تری کلینیک است (گروه فضایی  $P\bar{1}$ ). پارامترهای یاخته‌ی اولیه عبارتند از:

REE و Y است. میزان کاتیون‌های سه ظرفیتی در موقعیت  $Ca^{2+}$  بیشترین مقدار است.

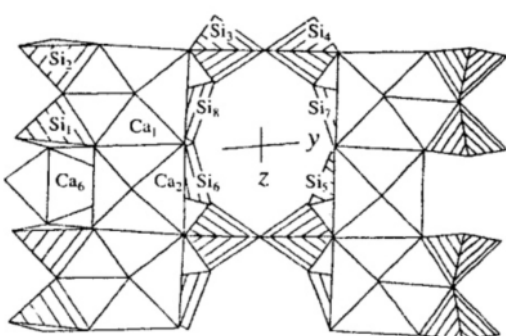
$Ca^{2+}$  اشغال شده است. در حالیکه تمام مکان‌های دیگر  $Ca^{2+}$  حاوی مقادیر جزئی از کاتیون‌های سه ظرفیتی (بیشتر



شکل ۱ موقعیت اتم‌ها در یاخته‌ی اولیه‌ی ساختاری بلوری میسریت [۹].



شکل ۲ آرایش هشت وجهی و چند وجهی با هفت گوشه در لایه دیوارهای چند وجهی در ساختار میسریت [۹].



شکل ۳ موقعیت رادیکال‌های سیلیکاتی  $[Si_{1,2}O_7]^{12-}$  و دیارتوگروههای  $[Si_2O_7]^{6-}$  در ساختار میسریت [۹].

جدول ۱ مختصات اتم‌ها در ساختار بلوری میسریت [۹]

محل اتم	$x/a$	$y/b$	$z/c$	محل اتم	$x/a$	$y/b$	$z/c$
$K_1$	-0.3174	-0.9949	0.1566	$O_8$	-0.5903	-0.8374	0.2581
$K_2$	.	.	1/2	$O_9$	-0.6026	-0.10029	0.3016
$Ca_1$	-0.4004	-0.264	0.0167	$O_{10}$	-0.8017	-0.1960	0.1998
$Ca_2$	-0.4034	-0.2596	0.0165	$O_{11}$	-0.2013	-0.1029	0.4429
$Ca_3$	-0.3699	-0.6103	0.0838	$O_{12}$	-0.4664	-0.1659	0.2767
$Ca_4$	-0.10085	-0.3990	0.3478	$O_{13}$	-0.7159	-0.1112	0.2043
$Ca_5$	-0.6406	-0.3808	0.4111	$O_{14}$	-0.7166	-0.1127	0.5637
$Ca_6$	-0.10093	-0.60067	0.1524	$O_{15}$	0.5870	-0.2790	0.1428
$Si_1$	-0.2874	-0.4450	0.2843	$O_{16}$	-0.9348	-0.1874	0.2878
$Si_2$	-0.7159	-0.5555	0.2758	$O_{17}$	-0.2250	-0.1406	0.1753
$Si_3$	-0.6943	-0.9036	0.3271	$O_{18}$	-0.8473	-0.7310	0.914
$Si_4$	-0.6194	-0.1017	0.3256	$O_{19}$	-0.10692	-0.1075	0.2614
$Si_5$	-0.7685	-0.1897	0.1424	$O_{20}$	-0.3461	-0.7212	0.3469
$Si_6$	-0.9029	-0.8170	0.1169	$O_{21}$	-0.1548	-0.2656	0.3746
$Si_7$	-0.2234	-0.8088	0.2814	$O_{22}$	-0.1077	-0.1459	0.1086
$Si_8$	-0.10997	-0.1812	0.3009	$OH$	-0.8816	-0.3589	0.1030
$O_1$	-0.1246	-0.4530	0.1422	F	-0.8873	-0.3635	0.5299
$O_2$	-0.4004	-0.3609	0.2717	W	.	.	.
$O_3$	-0.3417	-0.5310	0.3049	$W_1$	-0.999	-0.1002	0.911
$O_4$	-0.7374	-0.5712	0.5113				
$O_5$	-0.6048	-0.6422	0.1953				
$O_6$	-0.8790	-0.5437	0.2923				
$O_7$	-0.6469	-0.4747	0.1945				

جدول ۲ محل اشغال شده در ساختار بلوری میسریت [۹]

Site	Re Petition factor	Occu Pancy, ion
$K_1$	2	0.974 K <sup>+</sup>
$K_2$	1	0.630 K <sup>+</sup>
$Ca_1$	2	1.009 Ca <sup>2+</sup>
$Ca_2$	2	0.92 Ca <sup>2+</sup> + 0.08 (Fe <sup>3+</sup> + Mn <sup>2+</sup> + Mg <sup>2+</sup> )
$Ca_3$	2	0.959 Ca <sup>2+</sup> + 0.041 Y <sup>3+</sup>
$Ca_4$	2	0.945 Ca <sup>2+</sup> + 0.055 Y <sup>3+</sup>
$Ca_5$	2	0.914 Ca <sup>2+</sup> + 0.086 Y <sup>3+</sup>
$Ca_6$	2	0.770 Ca <sup>2+</sup> + 0.230 (Ce <sup>3+</sup> + Pr <sup>3+</sup> + Nd <sup>3+</sup> )
W	1	0.11 O <sup>2-</sup>
$W_1$	2	0.20 O <sup>2-</sup>

جدول ۳ ترکیب شیمیایی شیشه‌های مختلف.

کد نمونه	درصد وزنی	$\text{SiO}_2$	$\text{CaO}$	$\text{K}_2\text{O}$	$\text{CaF}_2$	$\text{CeO}_2$	$\text{Al}_2\text{O}_3$	$\text{B}_2\text{O}_3$
$M_1$	۵۳,۰۱	۲۶,۲۹	۷,۷۹	۱۲,۹۱	-	-	-	-
$M_2$	۵۳,۰۱	۲۴,۲۹	۷,۷۹	۱۲,۹۱	۲	-	-	-
$M_3$	۵۳	۲۱,۲۹	۸,۲	۱۲,۹۱	۲	۰,۶	۲	

### گرمادهی

برای فراهم کردن شرایط فرایند تبلور و تبدیل شیشه به شیشه سرامیک، گرمادهی نمونه‌ها با استفاده از نتایج DTA هر یک از نمونه‌ها در دو مرحله شامل جوانه‌زنی در دمای  $\frac{T_s-T_g}{2} + T_g$  و رشد در دمای تبلور  $T_p$  مربوط به هر نمونه انجام شد. کوره‌ی مورد استفاده برای این منظور کوره‌ی الکتریکی با سرعت گرمادهی  $10^\circ\text{C}/\text{min}$  و زمان نگهداری در دمای جوانه‌زنی و رشد به ترتیب ۲ و ۴ ساعت برای تمامی نمونه‌ها انتخاب شدند.

### شناسایی فازهای بلوری

برای تعیین فازهای بلوری شیشه‌ی سرامیک‌های تهیه شده، پس از گرمادهی، نخست در هاون پودر شده و سپس از الک ۶۳ میکرون عبور داده شدند. آنگاه با استفاده از روش پراش پودری پرتو ایکس XRD آنالیز فازی انجام شد. نمودار پراش پرتو ایکس با استفاده از دستگاه XRD مدل Philips XPERT با تیوب  $\text{Co}$  و فیلتر آهن در گستره‌های  $2\theta$  از  $4^\circ$  تا  $110^\circ$  تهیه شدند. شناسایی نمودارها با استفاده از کارت‌های مرجع JCPDS انجام گرفت.

### ریزساختار

ریزساختار نمونه‌ها با استفاده از دستگاه میکروسکوپ الکترونی SEM مدل XL30 ساخت شرکت فیلیپس از کشور هلند انجام شد.

### بحث و بررسی

براساس فرمول میسریت ترکیب شیشه  $M_1$  انتخاب شد. برای بررسی نقش  $\text{CeO}_2$ ,  $\text{Al}_2\text{O}_3$  و  $\text{B}_2\text{O}_3$  در تشکیل فاز میسریت ترکیب‌های شیشه  $M_2$  و  $M_3$  تهیه شد.

برای بررسی رفتار گرمایی شیشه‌های تهیه شده، از آن‌ها DTA گرفته شد که در شکل‌های ۴ تا ۶ آورده شده‌اند.

پینکنی و بل در سال ۱۹۹۹ با ساخت این ترکیب به روش شیشه‌ی سرامیک، نشان دادند که این ترکیب از استحکام و مقاومت شکست بالایی برخوردار است. آن‌ها استحکام مکانیکی تا  $235 \text{ MPa} \cdot \text{m}^{1/2}$  و مقاومت شکست تا  $35 \text{ MPa} \cdot \text{m}^{1/2}$  را برای این ترکیب گزارش کردند. بررسی خواص این ترکیب این احتمال را مطرح می‌کند که این ترکیب به عنوان یک ماده‌ی بایوакتیو می‌تواند به صورت ایمپلنت جایگزین استخوان در بدن انسان شود. استحکام و مقاومت شکست بالا، این جایگزینی را بسیار مناسب می‌سازد [۱۲]. بررسی‌های آزمایشگاهی این ترکیب هم اکنون به وسیله‌ی این گروه پژوهشی در حال انجام است.

### روش بررسی

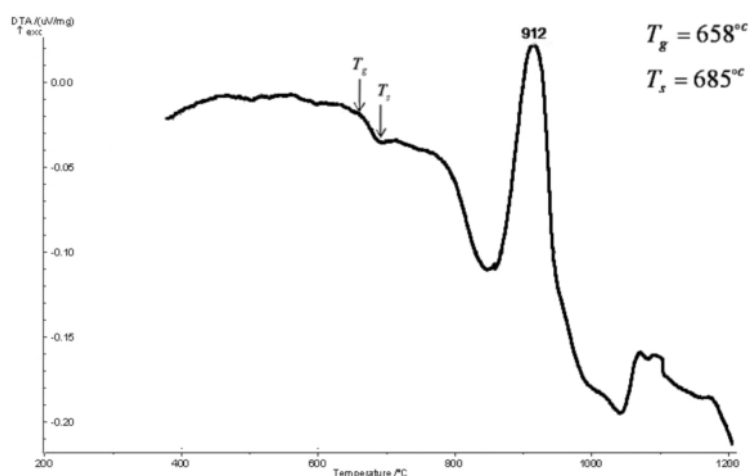
برای سنتز و ساخت ترکیب میسریت از روش شیشه سرامیک استفاده شد. انتخاب ترکیب با استفاده از فرمول میسریت انجام گرفت. آنالیز شیمیایی ترکیب‌های انتخاب شده در جدول ۳ آورده شده است.

مواد اولیه مورد استفاده برای تأمین اکسیدهای تشکیل دهنده‌ی ترکیب شیشه شامل:  $\text{SiO}_2$ ,  $\text{Al(OH)}_3$ ,  $\text{CeO}_2$ ,  $\text{H}_3\text{BO}_3$ ,  $\text{CaF}_2$ ,  $\text{K}_2\text{CO}_3$  با خلوص بالا و با اندازه دانه میکرونی بوده است.

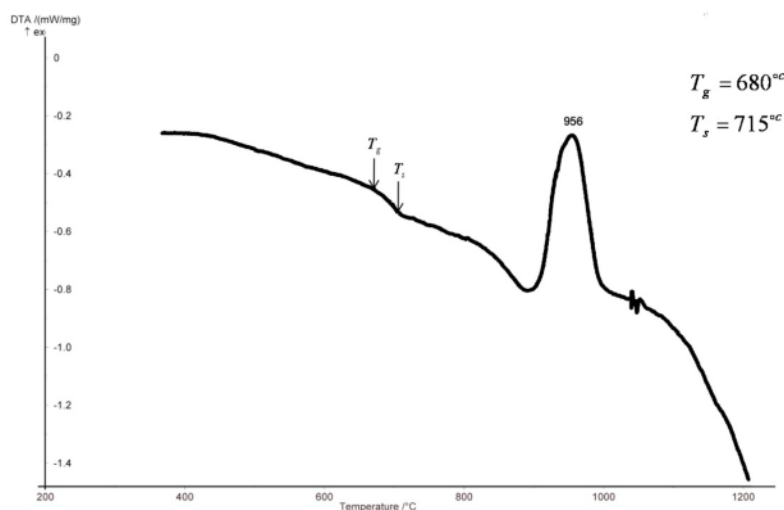
با استفاده از ترازوی کفه‌ای رقمی sartorius ساخت آلمان بادقت  $0,01$  گرم آمیزه‌ی شیشه به مقدار  $500$  گرم در هر بار تهیه و پس از مخلوط کردن کامل، در بوته پلاتینی درب دار، ریخته شد. سپس با استفاده از کوره‌ی الکتریکی در دمای  $1450^\circ\text{C}$  به مدت  $30$  دقیقه شیشه‌ی آبغون تهیه شد. آبغون حاصل در قالب فلزی پیش گرم شده ریخته شد و برای تنش‌زدایی در دمای  $600^\circ\text{C}$  به مدت  $1$  ساعت در یک کوره‌ی مافلی قرار گرفت و با دمای کوره تا دمای محیط خنک شد.

### آنالیز گرمایی DTA

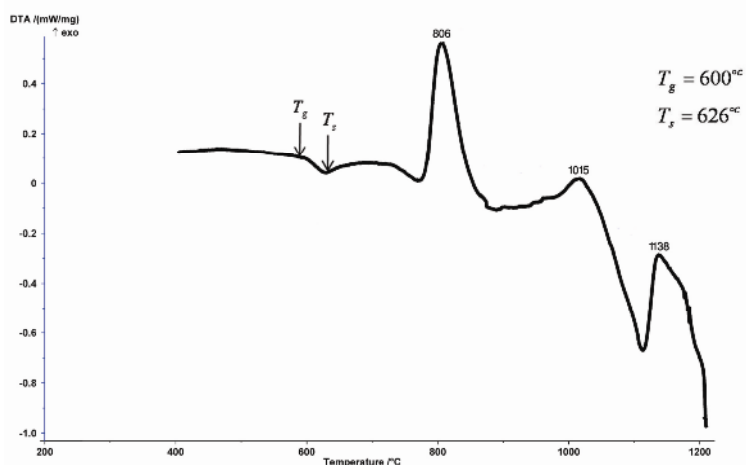
به منظور بررسی رفتار تبلور در شیشه‌ها و تعیین دمای جوانه‌زنی و تبلور از دستگاه آنالیز گرمایی همزمان Netsch STA409PC ساخت آلمان استفاده شد. نمونه‌های شیشه به وزن  $62$  میلی‌گرم با سرعت  $10^\circ\text{C}/\text{min}$  در محیط تا  $1200^\circ\text{C}$  در بوته‌ی آلومینیایی و با استفاده از پودر آلومینا به عنوان ماده‌ی مرجع و در فشار جو گرما داده شدند. اندازه‌های ذرات پودر شیشه‌ی مورد استفاده  $0,5$  تا  $0,6$  میلی‌متر بوده‌اند.



شکل ۴ نمودار DTA نمونه M<sub>1</sub> با سرعت گرمادهی ۱۰ °C/min



شکل ۵ نمودار DTA نمونه M<sub>2</sub> با سرعت گرمادهی ۱۰ °C/min



شکل ۶ نمودار DTA نمونه M<sub>3</sub> با سرعت گرمادهی ۱۰ °C/min

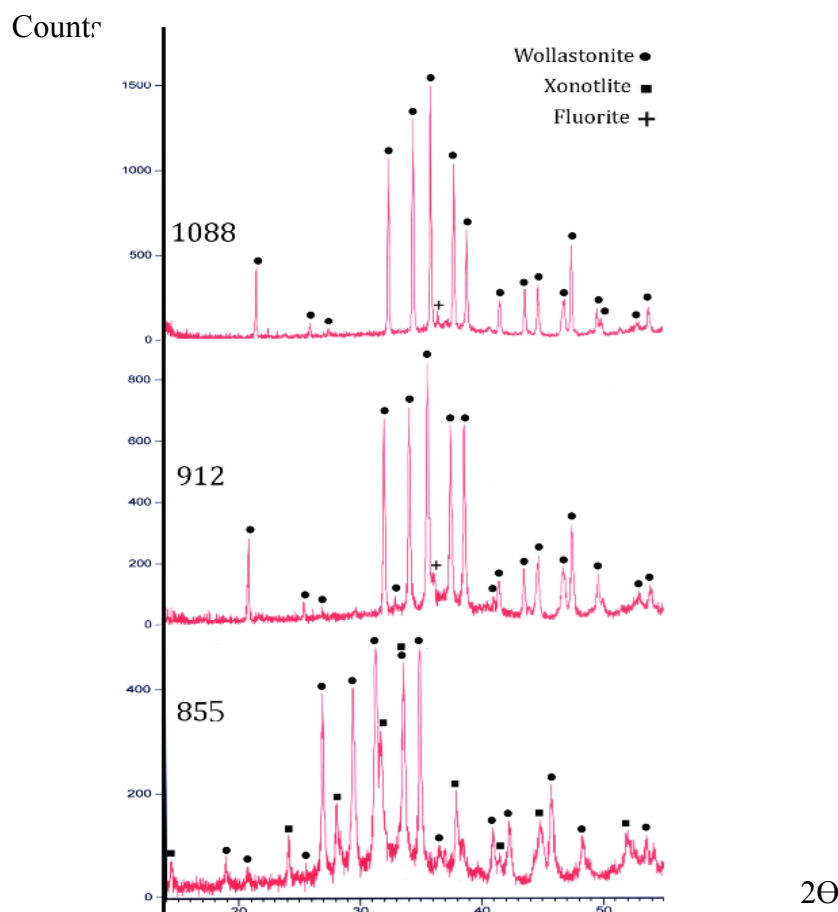
در این دما فازهای زنوتلیت و ولستونیت متبلور می‌شوند. در دمای  $912^{\circ}\text{C}$  فاز زنوتلیت تجزیه شده و به فازهای ولستونیت و فلوریت تبدیل می‌شود. در این مرحله از درصد فاز شیشه کاسته شده و درصد فاز بلوری افزایش می‌یابد. این شرایط تا دمای  $1088^{\circ}\text{C}$  ادامه می‌یابد ولی در این دما میزان فاز ولستونیت افزایش می‌یابد. با آنکه ترکیب  $M_1$  بر مبنای فرمول میسریت در نظر گرفته شده بود، ولی اثری از تشکیل فاز میسریت مشاهده نشد.

بنا بر نمودارهای DTA نمونه‌های یاد شده دمای انتقال به شیشه  $T_g$  و دمای نرم‌شوندگی  $T_s$  آنها تعیین شدند و دمای جوانهزنی هر یک از نمونه‌ها محاسبه شد. همچنین دمای تبلور نمونه‌های بالا به دست آمدند که نتایج در جدول ۴ آورده شده‌اند. بنا بر جدول ۴، پس از گرمادهی XRD آن‌ها اندازه گرفته شد.

نمودار پراش پرتو ایکس که از نمونه‌ی  $M_1$  در دمای  $855^{\circ}\text{C}$  در دمای  $1088^{\circ}\text{C}$  آورده شده است، نشان می‌دهد که گرمادهی شد و در شکل ۷ آورده شده است، نشان می‌دهد که

جدول ۴ دمای  $T_g$  و  $T_s$  و دمای جوانهزنی و تبلور شیشه‌های مختلف.

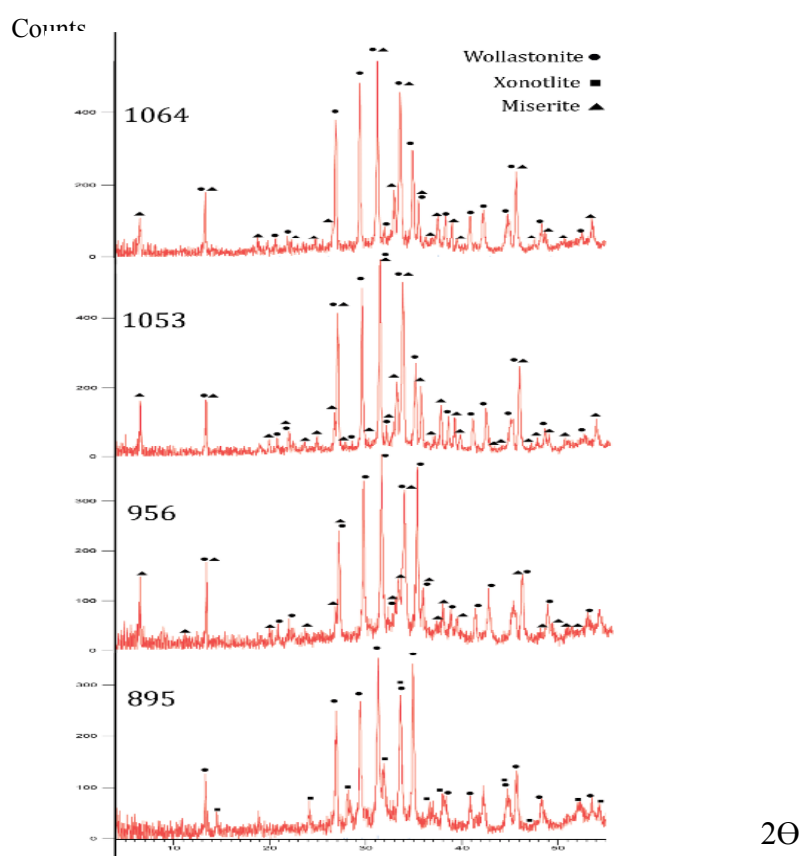
کد نمونه	$T_g$ $^{\circ}\text{C}$	$T_s$ $^{\circ}\text{C}$	$^{\circ}\text{C}$	دمای تبلور $^{\circ}\text{C}$				
				دمای جوانهزنی	۸۵۵	۹۱۲	۱۰۸۸	-
$M_1$	۶۵۶	۶۸۵	۶۷۲					
$M_2$	۶۸۰	۷۱۵	۶۹۲					
$M_3$	۶۰۰	۶۲۶	۶۱۰					



امکان پذیر است، ولی میزان تشکیل فاز میسریت کم است و هنوز فاز غالب محسوب نمی‌شود.

با توجه به نقش محلول جامد  $CeO_2$  در تشکیل فاز میسریت تلاش شد تا مقدار این جایگزینی افزایش یابد. برای این منظور میزان  $0.6$  درصد وزنی  $Al_2O_3$  به فرمولی  $M_2$  اضافه شد. با توجه به اندازه‌ی شعاع کاتیون‌های  $Al^{3+}$  و  $Si^{4+}$  و بار الکتریکی آن‌ها جایگزینی  $Al^{3+}$  بجای  $Si^{4+}$  در شبکه رخ می‌دهد، و باعث می‌شود تا مقدار بیشتری از  $Ce^{3+}$  بجای  $Ca^{2+}$  جایگزین شود. این افزایش جایگزینی منجر به افزایش فاز میسریت خواهد شد. از نظر جنبش‌شناسی افروden  $Al_2O_3$  باعث افزایش چسبندگی شده و تبلور از حالت آمورف را با مشکل مواجه می‌کند. برای غلبه بر این مشکل و کاهش چسبندگی مقدار دو درصد وزنی  $B_2O_3$  به فرمول اضافه و فرمول  $M_3$  پیشنهاد شد.

چنانکه در جدول ۲ مشاهده می‌شود در کانی میسریت اتم-های  $Ce^{3+}$  یا  $Y^{3+}$  یا  $Nd^{3+}$  و ... به صورت محلول جامد جانشین  $Ca^{2+}$  در شبکه‌ی بلوری می‌شود بگونه‌ای که در محل  $Ca_6$  بیشترین میزان جانشینی صورت می‌گیرد. برای ایجاد محلول جامد در ساختار بلوری میسریت مقدار دو درصد  $Al_2O_3$  به ترکیب  $M_1$  اضافه و ترکیب  $M_2$  ساخته شد. نتایج XRD این ترکیب پس از گرمادهی در  $895^{\circ}C$  که در شکل ۸ آورده شده، نشان می‌دهد که در این دما فازهای زنوتلیت و ولاستونیت پایدارند. در دمای  $956^{\circ}C$  فاز زنوتلیت به فاز میسریت دگرگون شده و فازهای میسریت و ولاستونیت در این دما پایدار می‌مانند. همین فازها در دمای  $1053^{\circ}C$  و  $1064^{\circ}C$  پایدار باقی می‌مانند. تشکیل فاز میسریت در ترکیب  $M_2$  مؤید آن است که تشکیل این فاز تنها با استفاده از محلول جامد ترکیب‌هایی نظیر  $CeO_2$

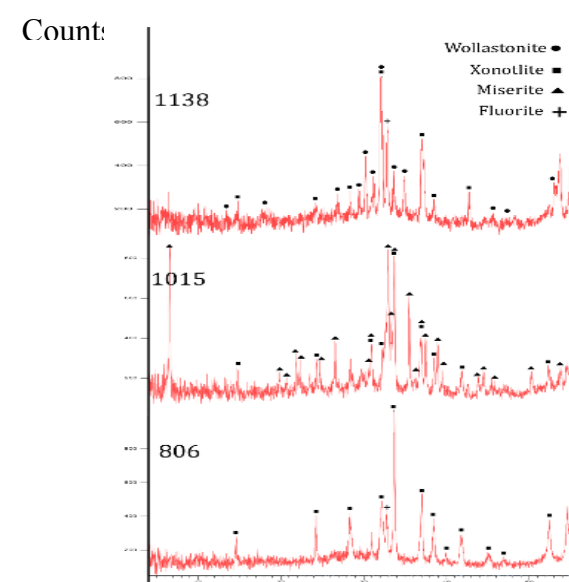


شکل ۸ نمودار برش برتو ایکس نمونه‌ی  $M_2$  در دمای  $1053^{\circ}C$ ،  $956^{\circ}C$ ،  $895^{\circ}C$  و  $1064^{\circ}C$

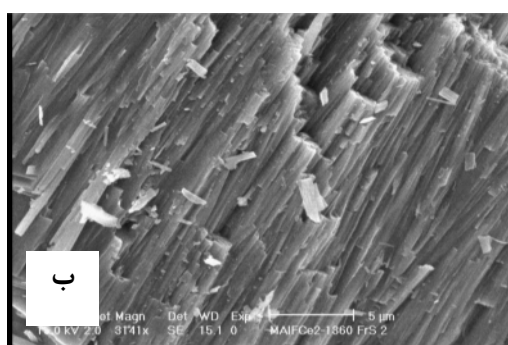
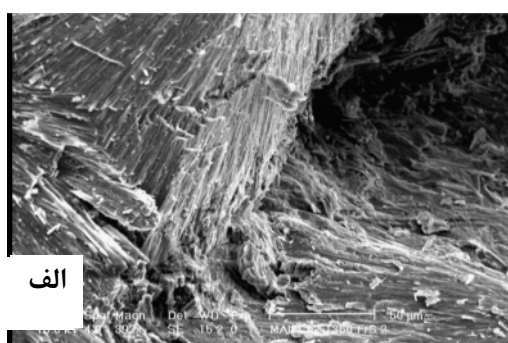
پایدار می‌شوند.

تصویر SEM از نمونه‌ی  $M_3$  که در دمای  $1015^{\circ}C$  گرمادهی شد، در شکل ۱۰ نشان داده شده است. این ترکیب، تصویر ریزساختار را به صورت میله‌های در هم تنیده به قطر  $1\mu m$  و طول بیش از  $20\mu m$  که در یکدیگر کاملاً قفل شده‌اند نشان می‌دهد. این ریزساختار باعث افزایش استحکام مکانیکی می‌شود.

پس از ساخت شیشه و گرمادهی، بنا بر جدول ۴ از آن نمودار پراش پرتو ایکس گرفته شد. نتایج XRD این ترکیب که در شکل ۹ آورده شدن نشان می‌دهد که در دمای  $806^{\circ}C$  فازهای زنوتلیت و فلوریت از فاز شیشه متبلور می‌شود. در دمای  $1015^{\circ}C$  فازهای میسریت و زنوتلیت پایدار هستند که فاز میسریت فاز غالب است. ولی در دمای  $1138^{\circ}C$  فاز میسریت تجزیه شده و فازهای ولاستونیت، فلوریت و زنوتلیت



شکل ۶ نمودار پراش پرتو ایکس نمونه‌ی  $M_3$  در دماهای  $806^{\circ}C$ ،  $1015^{\circ}C$  و  $1138^{\circ}C$



شکل ۱۰ تصویر SEM از نمونه‌ی  $M_3$  در دمای  $1015^{\circ}C$  با دو بزرگنمایی مختلف.

- [4] KU Priyanova I. I., Vasileva Z.V., "on rare-earth miserite, more information about the mineralogy of de Posits of rare element", Geol. Mestorozhd. Redk. Elemetor., 9 (1961) 139-147.
- [5] Kozlova P.S., "Miseritr from the Talassk Range," Trudy Mineral. MUZ. Akad. Navk SSSR, 13 (1962) 198-204
- [6] Ulyanova T. P., I linski G.A., "New data in the Kodzhaachkan Miserite," Mineral. Geokhim. Leningard Gos. Unive, 1, (1964) 40-46
- [7] Kravchenko S. M., Bykova A.V., "Miserite from southern yakutia", mineral. Pegmatitoy Gidro term, 3, (1967) 160-167
- [8] Berry L.G., Lin H.C., "A new occurrence of miserite from the kipwa Lake area, Temiscamigueco," Quebec, can. Mineral., 11, (1972) 569-573
- [9] Scott J.D., "crystal Structure of Miserite, A zotlai type 5 structure," J. Canadian Mineralogist, 14, (1976) 515-528
- [10] Rozhdsetvenshkaya I.V., Evokimov M.D., "Refinement of Miserite Crystal Structure ( $K_{1.29} \square_{0.21}$ )  $[Ca_{5.5}M^{3+}_{0.49}] (Si_6(O, OH)_{15}) (Si_2O_7)(F, OH)_2 0.25 H_2O$  ( $M = Y, REE, Fe, Ti, Mn, Mg$ ) from the Dare- Pioz occurrence, Pamir, Tajikistan", Doklay Earth sciences, Vol, 406, No 1, (2006) 74-78
- [11] Reguir E. P., chakhmo uradian A. R., "chemical composition of miserite", can. Mineral., 37, (1999) 1369-1373
- [12] Pincheny L. R., Beal G.H., "strong sintered miserite Glass- Ceramic", J. Am. Ceram. Soc., 82, (1999) 2523-2528

### برداشت

- ساخت شیشه سرامیکی میسریت بدون استفاده از افزودنی - های مناسب امکان پذیر نیست.
- افزودن اکسید سریم  $CeO_2$  نقش مهمی در تشکیل فاز میسریت ایفا می کند و منجر به تشکیل این فاز می شود. ولی هنوز این فاز به عنوان فاز غالب محسوب نمی شود.
- افزودن  $Be_2O_3$  و  $Al_2O_3$  همراه با  $CeO_2$  به فرمول میسریت منجر به ایجاد فاز میسریت به عنوان فاز غالب می شود.
- شیشه سرامیک میسریتی برای بسیاری از کاربردها که در آنها استحکام مکانیکی و مقاومت بالا مورد نیاز است می تواند مورد استفاده قرار گیرد.
- یک پتانسیل کاربردی برای این شیشه سرامیک، استفاده از آن به عنوان مواد ایمپلنت استخوانی است. این ترکیب به دلیل خواص مکانیکی مناسب و ترکیب شیمیایی آن کاندیدای مناسبی برای کاربرد بیوموادی است.

### مراجع

- [1] Williams J. F., "The igneous Rocks of Arkansas", Geol. Survey Arkansas, Annual Report for (1890) 2, 358
- [2] Schaller W. T., "Miserite from Arkansas, A Renaming of Natroxonotlite" Am. Mineral., 26, (1950) 911-921
- [3] Ryzhov B.I, Moleva V. A., "A discovery of miserite in the U.S.S.R. Dokl. Akad. NAVK SSSR", 131, (1960) 396-397